

# Diseño de PID basado en la respuesta en frecuencia: compromiso óptimo entre robustez, rapidez y amplificación del ruido

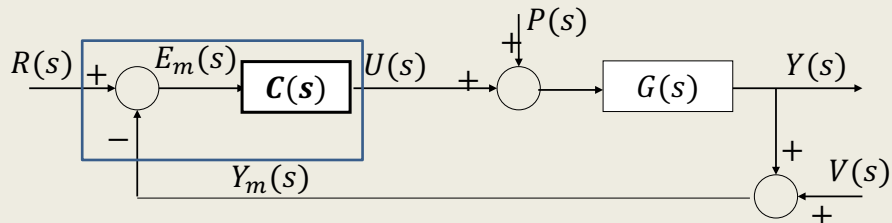
Roberto Sanchis Llopis  
Universitat Jaume I

## ÍNDICE

1. Introducción: PID y definición del problema de diseño.
2. Método de ajuste basado en respuesta en frecuencia.
3. Método de ajuste de libros clásicos.
4. Nuevo método de ajuste con parámetro adimensional.
5. Ajuste basado en compromiso de tres factores.
6. Herramientas de PID libres basadas en Java.
7. Nuevo método de autoajuste de PID.
8. PID basado en eventos: función descriptiva y aproximación de Tsytkin.

## INTRODUCCIÓN. CONTROLADOR PID

**Bucle de realimentación de la salida:**



**Aplicando superposición:**

$$Y(s) = \frac{C(s)G(s)}{1 + C(s)G(s)}R(s) + \frac{G(s)}{1 + C(s)G(s)}P(s) - \frac{C(s)G(s)}{1 + C(s)G(s)}V(s)$$

Polos del sistema controlado:  $1 + C(s)G(s) = 0$

## INTRODUCCIÓN. CONTROLADOR PID

**Controlador PID con filtro:**

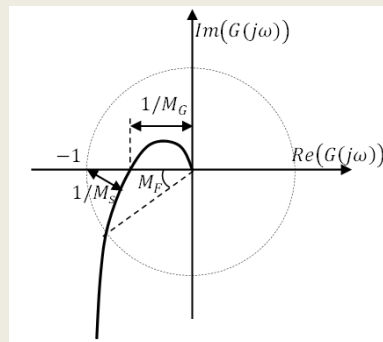
$$C(s) = K_p \left( 1 + \frac{1}{T_i s} + \frac{T_d s}{1 + \frac{T_d}{N} s} \right)$$

- Parámetros que lo definen:  $K_p, T_i, T_d, N$
- Problema de diseño o ajuste del PID:  
selección de los valores de  $K_p, T_i, T_d, N$ , teniendo en cuenta
  - **Robustez**
  - **Rapidez** !!!! Objetivos en conflicto !!!!
  - **Amplificación del ruido**

## AJUSTE EN FRECUENCIA DE PID

Se basa en conseguir que el diagrama de Nyquist de  $C(s)G(s)$  cumpla requisitos de robustez:

- Margen de fase
- Margen de ganancia
- Margen de sensibilidad



## AJUSTE EN FRECUENCIA DE PID EN LIBROS CLÁSICOS (DORF)

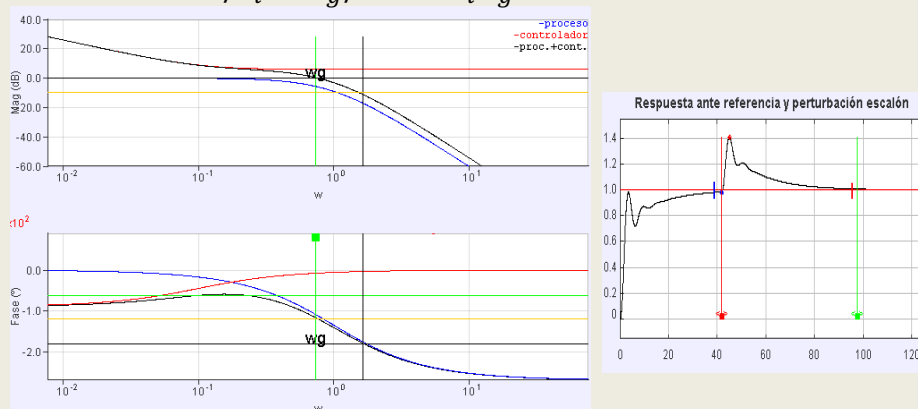
### Ajuste de PI (compensador de retardo)

- Se basa en conseguir un margen de fase.
- Se busca  $\omega_g$  donde el sistema tiene la fase necesaria con una corrección:  $-180 + M_f + 5$  a  $12$
- Se fija el cero ( $1/T_i$ ) entre  $1/6$  y  $1/10$  de  $\omega_g$
- Se calcula la ganancia para que el margen de fase sea el deseado (el módulo de CG sea 1 a la frecuencia  $\omega_g$ ).

## AJUSTE EN FRECUENCIA DE PID EN LIBROS CLÁSICOS (DORF)

### Ajuste de PI (compensador de retardo)

El cero se pone lejos de  $\omega_g$  para que el retardo de fase “no moleste”:  $1/T_i = \omega_g/10 \rightarrow T_i \omega_g = 10$



## AJUSTE EN FRECUENCIA DE PID EN LIBROS CLÁSICOS (DORF)

### Ajuste de PID con filtro (compensador de adelanto-retardo)

- Se decide el adelanto y se pone el término derivador con filtro para máximo adelanto en  $\omega_g$ .
- Se fija el término de retardo igual que antes, a  $1/6$  a  $1/10$  de  $\omega_g$  para que “no moleste”.

$$T_i \omega_g = 10$$

## NUEVO AJUSTE EN FRECUENCIA DE PID

### Ajuste de PI en frecuencia

- Se usa el parámetro de ajuste:  $\alpha = T_i \omega_g$
- Si se fija  $\alpha$  hay un único PI con el Mf deseado.
  - El argumento del controlador depende solo de  $\alpha$ :
 
$$\arg(C(j\omega_g)) = \arg\left(K_p\left(1 + \frac{1}{j\omega_g T_i}\right)\right) = \arg\left(1 + \frac{1}{ja}\right) = f(\alpha)$$
  - Se busca  $\omega_g$  donde el sistema tiene la fase exacta necesaria:
 
$$\arg(G(j\omega_g)) = -180^\circ + M_{F,des} - \arg(C(j\omega_g)) \rightarrow \omega_g$$
  - Se calcula  $T_i = \frac{\alpha}{\omega_g}$
  - Se calcula la ganancia  $K_p$  para que  $|G(j\omega_g)||C(j\omega_g)| = 1$

Sanchis, Roberto , Romero, Julio A. and Balaguer, Pedro. 'Tuning of PID controllers based on simplified single parameter optimisation', International Journal of Control, 2010.

## NUEVO AJUSTE EN FRECUENCIA DE PID

### Ajuste de PI en frecuencia

- ¿Cuál es el valor adecuado de  $\alpha = T_i \omega_g$ ?
- Se busca  $\alpha$  para rapidez máxima  $\rightarrow$  IAE mínima
- Asegurando robustez ( $M_F$  y  $M_G$ , o  $M_S$ )

## NUEVO AJUSTE EN FRECUENCIA DE PID

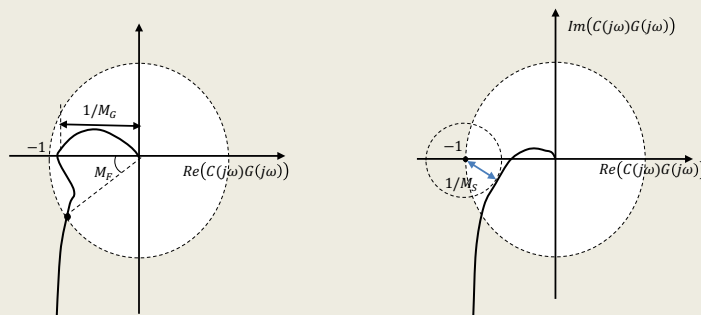
### Ajuste de PI en frecuencia

3 formas de definir la robustez ( $M_F$  y  $M_G$ , o  $M_S$ )

$$\begin{aligned} M_F &= M_{F,\text{req}} \\ M_G &\geq M_{G,\text{req}} \end{aligned}$$

$$\begin{aligned} M_F &= M_{F,\text{req}} \\ M_S &\leq M_{S,\text{req}} \end{aligned}$$

$$M_S = M_{S,\text{req}}$$



## NUEVO AJUSTE EN FRECUENCIA DE PID

### Ajuste de PI en frecuencia

- Se busca  $a$  para rapidez máxima  $\rightarrow$  IAE mínima
- Asegurando robustez ( $M_F$  y  $M_G$ , o  $M_S$ )

Minimizar IAE (o ISE o ITAE)

$a$

Sujeto a:  $M_F = M_{F,d}$

$M_G \geq M_{G,d}$

!!!!!! El controlador PI más rápido iiiii

## NUEVO AJUSTE EN FRECUENCIA DE PID

### Ajuste de PI en frecuencia

- Se busca  $\alpha$  para rapidez máxima  $\rightarrow$  IAE mínima
- Asegurando robustez ( $M_F$  y  $M_G$ , o  $M_S$ )

Minimizar IAE (o ISE o ITAE)

$\alpha$

Sujeto a:  $M_F = M_{F,d}$

$$M_S \leq M_{S,d}$$

!!!!!! El controlador PI más rápido iiii

## NUEVO AJUSTE EN FRECUENCIA DE PID

### Ajuste de PI en frecuencia

- Se busca  $\alpha$  para rapidez máxima  $\rightarrow$  IAE mínima
- Asegurando robustez ( $M_F$  y  $M_G$ , o  $M_S$ )

Minimizar IAE (o ISE o ITAE)

$\alpha$

Sujeto a:  $M_S = M_{S,d}$

!!!!!! El controlador PI más rápido iiii

## NUEVO AJUSTE EN FRECUENCIA DE PID

### Ajuste de PI en frecuencia

¿Y la amplificación de ruido de alta frecuencia?

- En el PI la amplificación de alta frecuencia es  $K_p$
- Si el PI más rápido amplifica mucho el ruido → se reduce  $\alpha$  respecto del óptimo para hacerlo más lento y reducir  $K_p$ .
- Si el PI más rápido amplifica poco el ruido → se puede usar un PID para respuesta más rápida.

## NUEVO AJUSTE EN FRECUENCIA DE PID

### Ajuste de PI en frecuencia

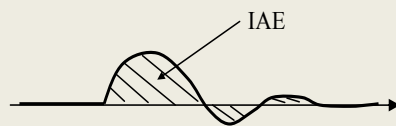
#### Herramienta de diseño de PI

- Calcula el PI para un  $M_f$  y un valor de  $\alpha$
- Calcula automáticamente el PI óptimo
- Si la robustez se define con  $M_s$ , itera con  $M_f$  hasta que  $M_s$  es el deseado.

## NUEVO AJUSTE EN FRECUENCIA DE PID

### Ajuste de PI en frecuencia

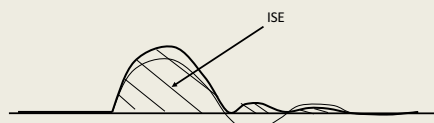
IAE



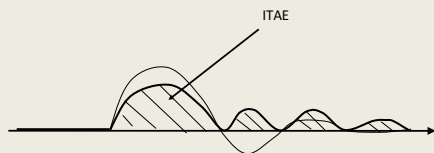
$$IAE \approx IE = \frac{1}{K_i}$$

Si poco oscilatorio

ISE



ITAE



## NUEVO AJUSTE EN FRECUENCIA DE PID

### Ajuste de PI

#### Ejemplo

$$G(s) = \frac{3}{(1 + 0.5s)(1 + 0.25s)}$$

- Diseñar controlador P para un  $M_f=60^\circ$ :
- Diseñar PI con  $\alpha=10$ .
- Diseñar PI con  $\alpha=0.5$ .
- Buscar PI que minimiza IAE (ISE o ITAE).

## NUEVO AJUSTE EN FRECUENCIA DE PID

### Ajuste de PI

#### Ejemplo

$$G(s) = \frac{3}{(1 + 0.5s)(1 + 0.25s)} e^{-s}$$

Diseñar controlador PI para:

- Mf = 60°, Mg ≥ 9.5 dB
- Buscar PI que minimiza IAE.

## NUEVO AJUSTE EN FRECUENCIA DE PID

### Ajuste de PID en frecuencia

- Se usa el parámetro de ajuste:  $\alpha = T_i \omega_g$
- Si se fija  $\alpha$ ,  $\beta = \frac{T_i}{T_d}$ , y  $N$ , hay un único PID con el Mf deseado.
  - El argumento del controlador depende solo de  $\alpha$ :
 
$$\arg(C(j\omega_g)) = \arctan\left(\frac{\alpha(N\beta + 1)}{N\beta - \alpha^2(1 + N)}\right) - \arctan\left(\frac{\alpha}{N\beta}\right) - 90^\circ = f(\alpha)$$
  - Se busca  $\omega_g$  donde el sistema tiene la fase exacta necesaria:
 
$$\arg(G(j\omega_g)) = -180^\circ + M_{F,des} - \arg(C(j\omega_g)) \rightarrow \omega_g$$
  - Se calcula  $T_i = \frac{\alpha}{\omega_g}$ ,  $T_d = \frac{T_i}{\beta}$
  - Se calcula la ganancia  $K_p$  para que  $|G(j\omega_g)||C(j\omega_g)| = 1$

## NUEVO AJUSTE EN FRECUENCIA DE PID

### Ajuste de PID en frecuencia

- ¿Cuál es el valor adecuado de  $a = T_i \omega_g?$
- Se busca  $a$  para rapidez máxima  $\rightarrow$  IAE mínima
- Asegurando robustez ( $M_F$  y  $M_G$ , o  $M_S$ )

## NUEVO AJUSTE EN FRECUENCIA DE PID

### Ajuste de PID en frecuencia

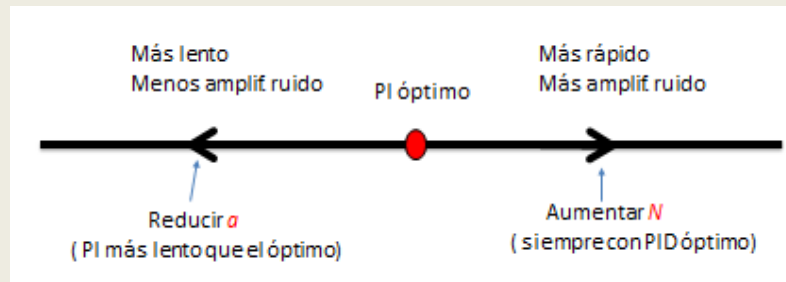
¿Y la amplificación de ruido?

- En el PID la amplificación del ruido es  $K_p(1+N)$
- Si el PID más rápido amplifica mucho el ruido  $\rightarrow$  se reduce  $N$  y se recalcula el óptimo.

## NUEVO AJUSTE EN FRECUENCIA DE PID

### Ajuste de PID en frecuencia

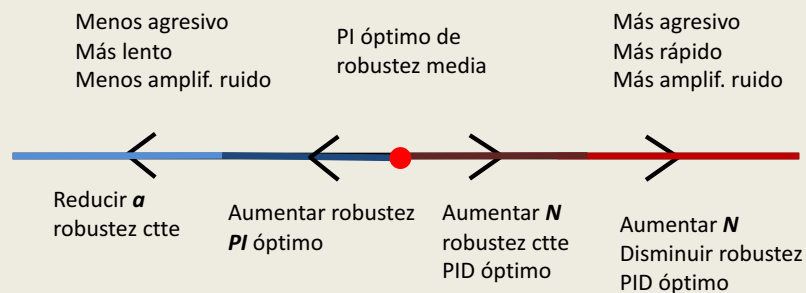
Línea de ajuste para robustez fija



## NUEVO AJUSTE EN FRECUENCIA DE PID

### Ajuste de PID en frecuencia

Línea de ajuste de una dimensión



## NUEVO AJUSTE EN FRECUENCIA DE PID

### Ajuste de PID en frecuencia

¿Y cómo se fija el valor de  $\beta = \frac{T_i}{T_d}$  ?

- Se toma  $\frac{T_i}{T_d}=4$  por defecto.
- En algunos casos, reducir o aumentar  $\beta$  permite mejorar las prestaciones

## NUEVO AJUSTE EN FRECUENCIA DE PID

### Ajuste de PID en frecuencia

#### Herramienta de diseño de PID

- Calcula el PID para un  $M_f$ , un valor de  $\alpha$ , de  $\beta$  y de  $N$ .
- Calcula automáticamente el PID óptimo
- Si la robustez se define con  $M_s$ , itera con  $M_f$  hasta que  $M_s$  es el deseado.

## NUEVO AJUSTE EN FRECUENCIA DE PID

### Ajuste de PID

Ejemplo

$$G(s) = \frac{1}{(1+s)^3}$$

Diseñar un PID para conseguir:

- $M_f = 60^\circ$ ,  $M_g \geq 9.5\text{dB}$ .
- Amplificación del ruido de alta frecuencia menor de 10.
- IAE mínima.

## NUEVO AJUSTE EN FRECUENCIA DE PID

### Ajuste de PID

Ejemplo

$$G(s) = \frac{1}{(1+s)^3}$$

Diseñar un PID para conseguir:

- $M_s = 1.5$ .
- $e_v \leq 1 \rightarrow K_i = \frac{1}{e_v G(0)} \geq 1$
- Amplificación del ruido de alta frecuencia mínima.

## NUEVO AJUSTE EN FRECUENCIA DE PID

### Ajuste de PID

**Ejemplo**  $G(s) = \frac{2}{(1 + 10s)(1 + s)^2}$

Diseñar un PID para conseguir:

- $M_f = 60^\circ$ ,  $M_g \geq 9.5\text{dB}$
- $t_{s,98} \approx 10 \text{ seg} \longrightarrow \omega_g \approx \frac{16.8 - 0.2M_f}{t_{s,98}} = 0.48 \text{ rad/s}$
- Amplificación del ruido de alta frecuencia mínima.

## COMPROMISO DE 3 FACTORES EN PID

**Los 3 factores de diseño en frecuencia:**

- **Robustez.** Se puede fijar de tres formas:
  - $M_F = M_{F,d}$ ,  $M_G \geq M_{G,d}$  : Si no hay retardo,  $M_G$  no afecta.
  - $M_F = M_{F,d}$ ,  $M_S \leq M_{S,d}$
  - $M_S = M_{S,d}$
- **Rapidez de respuesta.**
  - Para optimizar: **IAE**, **ISE**, **ITAE**,  $K_i = \frac{1}{e_v G(0)}$
  - Para fijar:  $K_i$ ,  $t_{s98}$ , (se puede aproximar:  $\omega_g \approx \frac{16.8 - 0.2M_f}{t_{s,98}}$ )
- **Amplificación del ruido.**  $C(\infty) = K_p$  para el PI,  $C(\infty) = K_p(1 + N)$  para el PID ó el PD.

## COMPROMISO DE 3 FACTORES EN PID

### Estrategia de diseño 1: maximizar rapidez.

**Fijar robustez** y  $C(\infty)$ , y maximizar rapidez ( $K_i$ , IAE, ISE o ITAE).

1. Se calcula el PI más rápido. Si  $C(\infty)$  adecuada **FIN**.
2. Si  $C(\infty)$  excesiva  $\rightarrow$  reducir  $\alpha$  hasta que  $C(\infty)$  adecuada. **FIN**
3. Si  $C(\infty)$  pequeña  $\rightarrow$  calcular PID más rápido con  $N=0.1$ . Aumentar  $N$  y recalcular PID más rápido hasta que  $C(\infty)$  adecuada. **FIN**

## COMPROMISO DE 3 FACTORES EN PID

### Estrategia 2: minimizar amplificación del ruido.

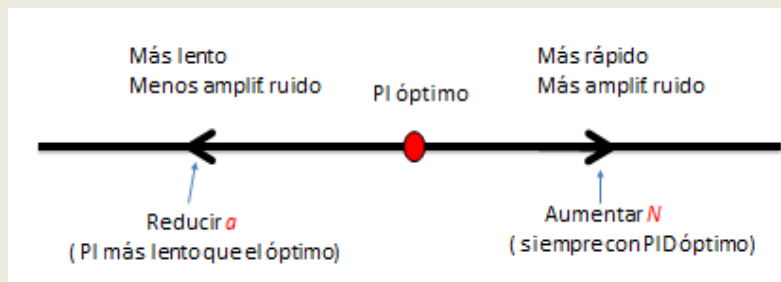
**Fijar robustez** y rapidez ( $t_{s98}$  o  $K_i$ ), y minimizar  $C(\infty)$ .

1. Se calcula el PI más rápido. Si rapidez adecuada **FIN**
2. Si rapidez excesiva  $\rightarrow$  reducir  $\alpha$  hasta rapidez adecuada. **FIN**
3. Si rapidez insuficiente  $\rightarrow$  calcular PID más rápido con  $N=0.1$ . Aumentar  $N$  y recalcular PID más rápido hasta que rapidez adecuada. **FIN**

## COMPROMISO DE 3 FACTORES EN PID

### Estrategias de diseño 1 y 2.

Se empieza en el punto medio de la línea de ajuste (PI óptimo) y se mueve a izquierda o derecha:



## COMPROMISO DE 3 FACTORES EN PID

### Estrategia 3: maximizar robustez:

Fijar  $C(\infty)$  y rapidez ( $t_{s98}$  o  $K_i$ ), y maximizar robustez.

1. Se fija robustez máxima de la tabla:

$M_r$ (°)	75	70	65	60	55	50	45	40	
$M_{G,min}$ (dB)	12.7	11.6	10.5	9.5	8.6	7.7	6.8	6	
$M_s$	1.2	1.3	1.4	1.5	1.6	1.7	1.8	1.9	2

2. Se calcula el PID más rápido con ese valor de  $C(\infty)$ .

3. Si rapidez suficiente  $\rightarrow$  Ese PID es la solución. **FIN**

4. Si rapidez insuficiente  $\rightarrow$  tomar siguiente valor de robustez de la tabla y volver al paso 2

## COMPROMISO DE 3 FACTORES EN PID

### Ejemplo

$$G(s) = \frac{2}{(1 + 10s)(1 + s)^2}$$

Diseñar un PID para conseguir:

- Ms mínimo
- $e_v \leq 0.5 \rightarrow K_i = \frac{1}{e_v G(0)} \geq 1$
- Amplificación del ruido de alta frecuencia menor de 20.

## HERRAMIENTAS DE PID BASADAS EN JAVA

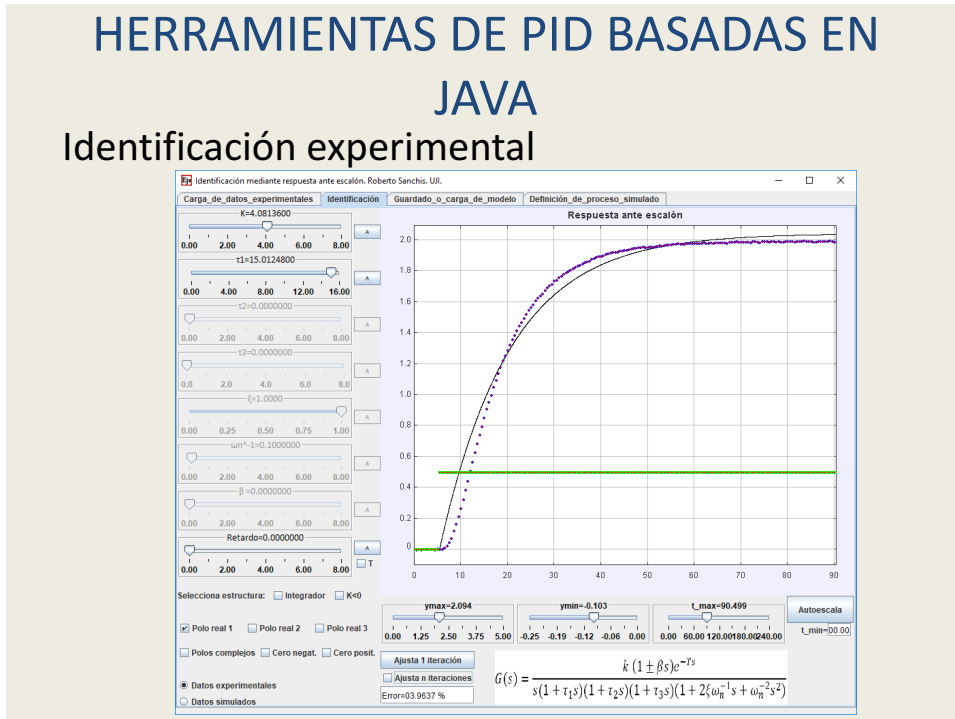
### Herramientas libres para PID

- Identificación experimental
- Ajuste experimental de PID
- Diseño basado en modelo de PID
- Firmware Arduino y aplicación interfaz para PC
- Identificación en frecuencia
- Otras aplicaciones (Send on Delta)

<https://sites.google.com/a/uji.es/freepidtools/>

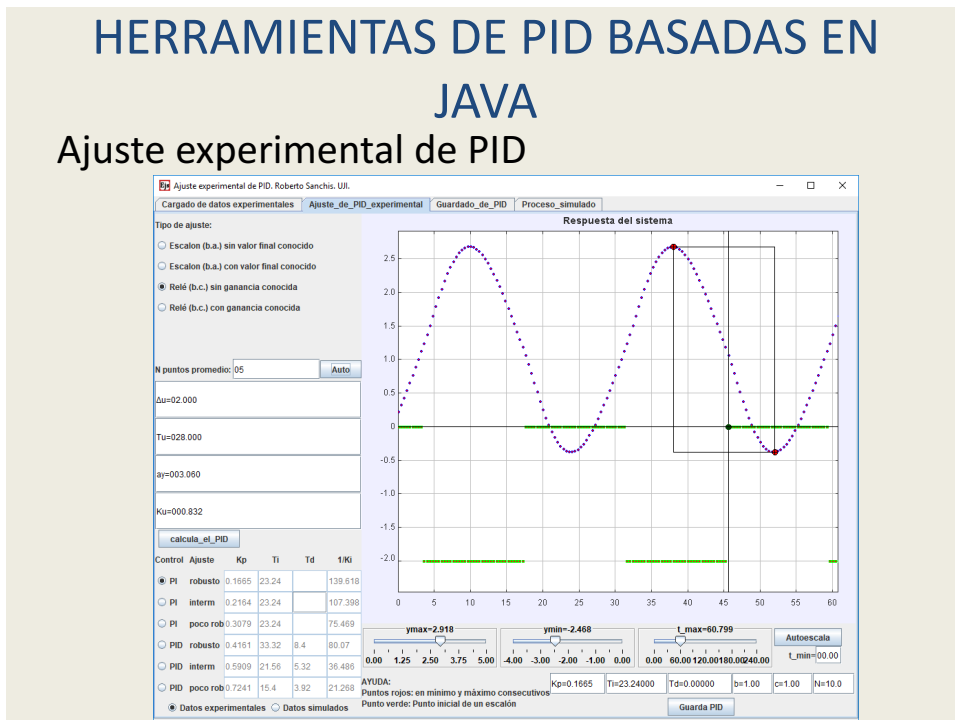
# HERRAMIENTAS DE PID BASADAS EN JAVA

## Identificación experimental



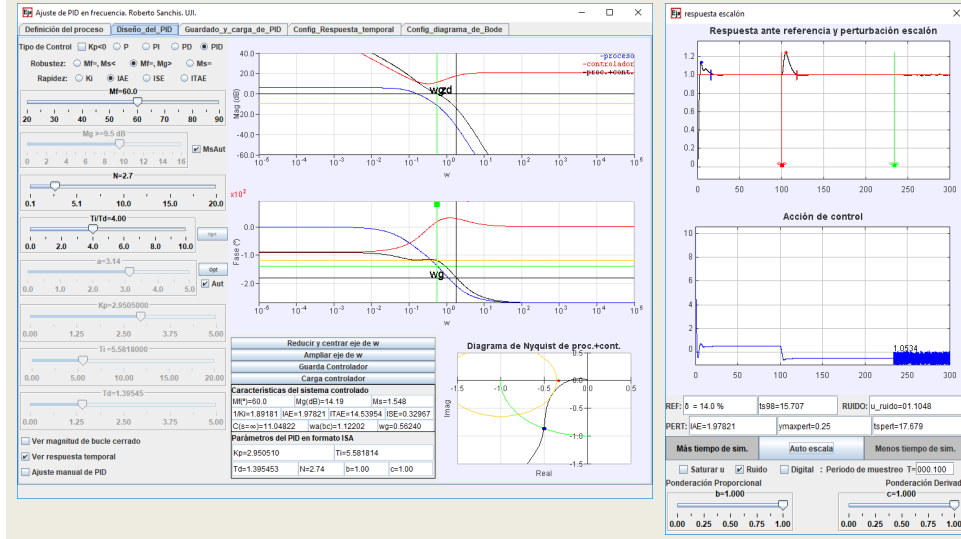
# HERRAMIENTAS DE PID BASADAS EN JAVA

## Ajuste experimental de PID



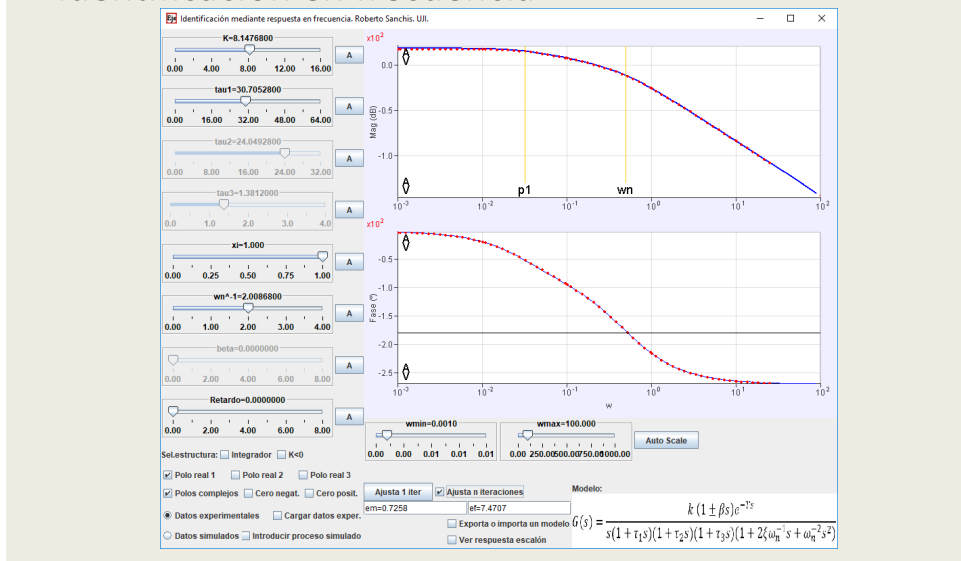
# HERRAMIENTAS DE PID BASADAS EN JAVA

## Diseño de PID basado en modelo



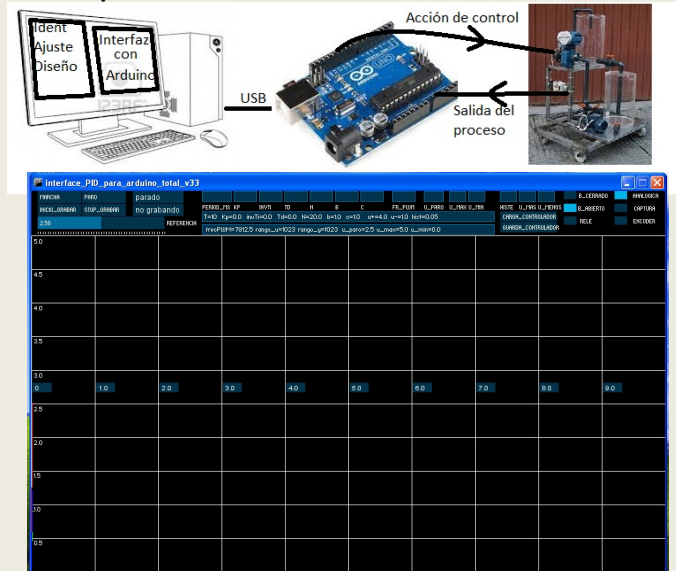
# HERRAMIENTAS DE PID BASADAS EN JAVA

## Identificación en frecuencia



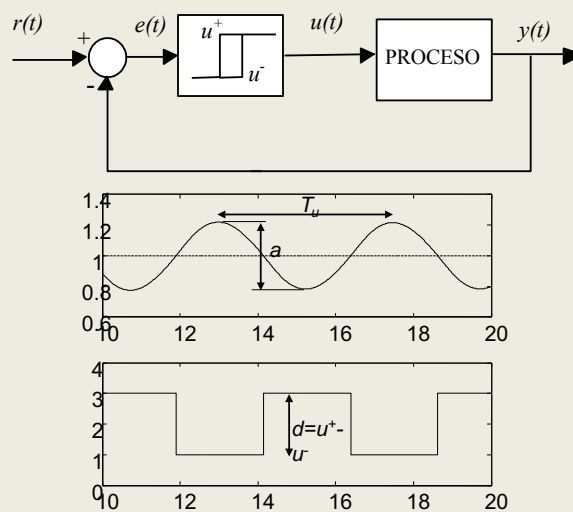
# HERRAMIENTAS DE PID BASADAS EN JAVA

Interfaz para Arduino



## AUTOAJUSTE DE PID

Método clásico de relé:



## AUTOAJUSTE DE PID

### Autoajuste de PI

- Se aproxima el diagrama de Bode (magnitud y fase) por una línea recta:
  - Experimento relé, y relé con retardo → 2 puntos del diagrama de Bode.
  - Aproximación de Bode con líneas rectas.
- Se diseña el PI que maximiza  $K_i$  con  $M_f = M_{f,r}$ ,  $M_G \geq M_{G,r}$
- Si  $\omega_g$  está lejos de los 2 puntos, se calcula un 3er punto con relé y más retardo, y se recalcula el PI.

Julio Ariel Romero, Roberto Sanchis, Pedro Balaguer. PI and PID auto-tuning procedure based on simplified single parameter optimization. Journal of Process Control. 21 (2011) 840–851.

## AUTOAJUSTE DE PID

### Autoajuste de PID

- Se fija  $T_i/T_d=4$ , y se elige  $N$ .
- Se procede exactamente igual que con el PI.

### Parámetros que definen el autoajuste

- $M_{f,r}$  ( $45^\circ$  -  $60^\circ$ )
- $M_{G,r}$  (6 dB - 9 dB)
- $N$ , parámetro de filtro del derivador (5 – 10)
- Amplitud del relé
- Histéresis del relé (algo mayor que el ruido)
- Fase del segundo punto ( $-130^\circ$ )
- Factor de condición de cálculo de 3er punto (1)

## AUTOAJUSTE DE PID

### Autoajuste de PID

- Alternativamente, se elige la robustez, y se elige  $C(\infty)$ , y se diseña el PID para maximizar  $K_i$ .

## AUTOAJUSTE DE PID

### Algoritmo de autoajuste

1. Experimento relé sin retardo (ampl.  $\mu$ , hist.  $h$ )  

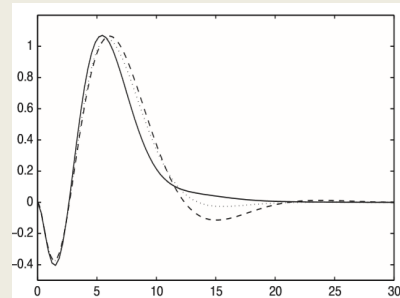
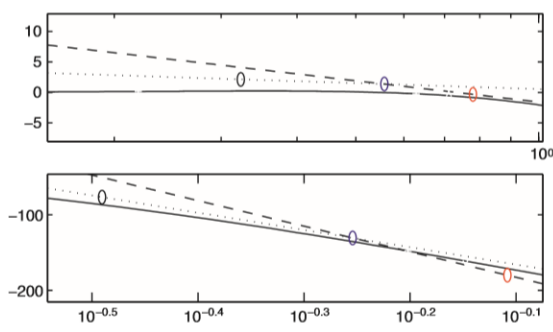
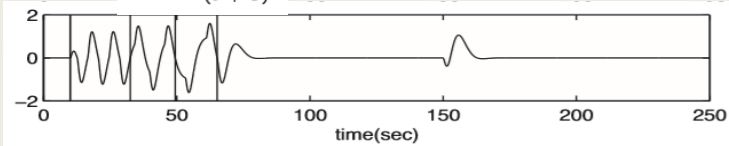
$$M_1 = \pi A_1 / 4\mu \quad \phi_1 = -\pi - \arg \left( \frac{4\mu}{\pi A_1} \left( \sqrt{1 - \left(\frac{h}{A_1}\right)^2} - j \frac{h}{A_1} \right) \right)$$
2. Experimento relé con retardo  $L_2 = ((-\phi_1 + \phi)\phi_1) / \phi\omega_1$   

$$M_2 = \pi A_2 / 4\mu \quad \phi_2 = L_2\omega_2 - \pi - \arg \left( \frac{4\mu}{\pi A_2} \left( \sqrt{1 - \left(\frac{h}{A_2}\right)^2} - j \frac{h}{A_2} \right) \right)$$
3. Ajusta PID con Bode línea recta
4. Si  $\log(\omega_2/\omega_{gt1}) > r \log(\omega_1/\omega_2)$ , exp. relé con  $L_3 = \frac{(\phi_2 - \phi_1) \log(\frac{\omega_1}{\omega_{gt1}})}{\omega_{gt1} \log(\frac{\omega_1}{\omega_2})}$   

$$M_3 = \pi A_3 / 4\mu \quad \phi_3 = L_3\omega_3 - \pi - \arg \left( \frac{4\mu}{\pi A_3} \left( \sqrt{1 - \left(\frac{h}{A_3}\right)^2} - j \frac{h}{A_3} \right) \right)$$
5. Ajusta PID con Bode nueva línea recta

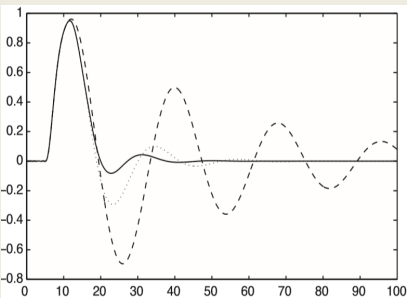
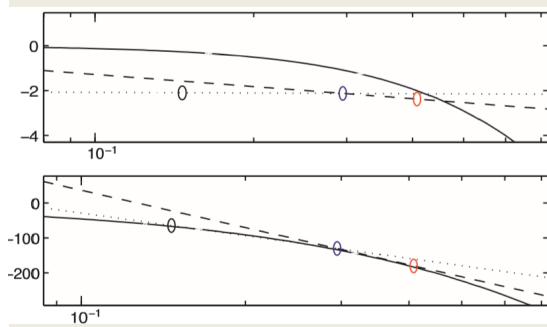
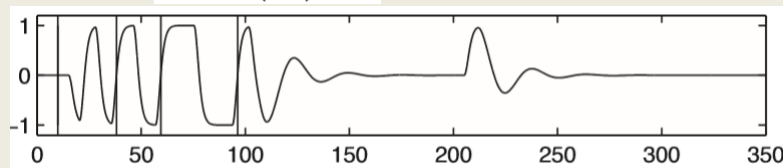
## AUTOAJUSTE DE PID

**Ejemplo**  $G_8(s) = \frac{1 - 2s}{(s + 1)^3}$



## AUTOAJUSTE DE PID

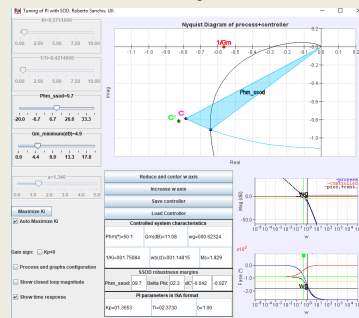
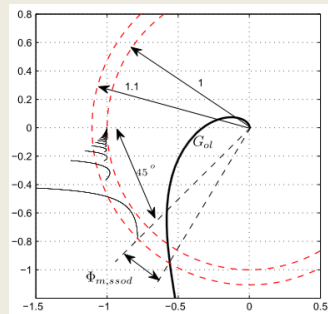
**Ejemplo**  $G_2(s) = \frac{1}{(s+1)^3} e^{-5s}$



# PID BASADO EN EVENTOS

## PID con muestreo Send on Delta

- Se utiliza la función descriptiva para predecir ciclos límites, y para diseñar el PID y evitarlos

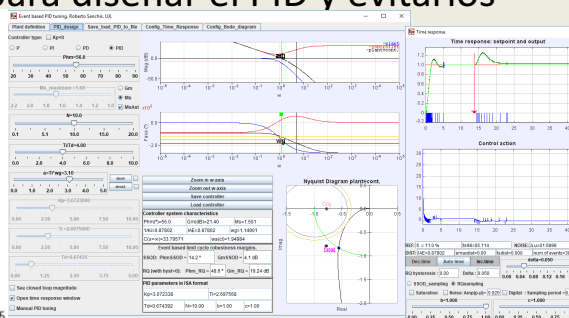
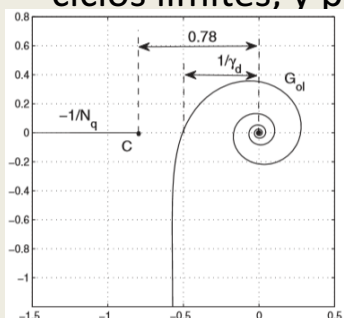


- Válido para procesos muy filtrantes

# PID BASADO EN EVENTOS

## PID con muestreo RQ

- Se utiliza la función descriptiva para predecir ciclos límites, y para diseñar el PID y evitarlos

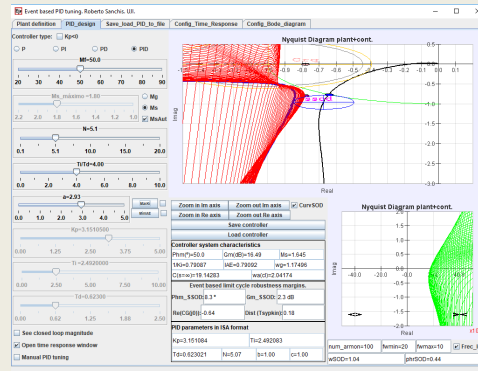


- Válido para procesos muy filtrantes

# PID BASADO EN EVENTOS

## PID con muestreo Send on Delta

- Se utiliza la aproximación de Tsytkin para predecir ciclos límites, y para diseñar el PID y evitarlos



- Válido para todo tipo de procesos

## REFERENCIAS

- Sanchis, Roberto , Romero, Julio A. and Balaguer, Pedro. 'Tuning of PID controllers based on simplified single parameter optimisation', International Journal of Control, 2010. DOI: 10.1080/00207179.2010.495162. URL: <http://dx.doi.org/10.1080/00207179.2010.495162>
- Julio Ariel Romero, Roberto Sanchis, Pedro Balaguer. PI and PID auto-tuning procedure based on simplified single parameter optimization. Journal of Process Control. 21 (2011) 840–851.
- Julio Ariel Romero Pérez, Roberto Sanchis Llopis. Benchmark para la Evaluación de Algoritmos de Auto-ajuste de Controladores PID. REVISTA IBEROAMERICANA DE AUTOMATICA E INFORMATICA INDUSTRIAL. Num. 1. Vol. 8 . pp. 112-117. 2011.
- Julio Ariel Romero Pérez, Roberto Sanchis Llopis. A new method for tuning PI controllers with symmetric send-on-delta sampling strategy. ISA TRANSACTIONS . Vol. 64 . pp. 161-173. 2016.
- Julio Ariel Romero Pérez, Roberto Sanchis Llopis. Tuning and robustness analysis of event-based PID controllers under different event generation strategies. INTERNATIONAL JOURNAL OF CONTROL . pp. 1-38. 2017.

## REFERENCIAS

- Roberto Sanchis Llopis, Julio Ariel Romero Pérez. A software tool for the design and simulation of PID with event based sampling. 3rd International Conference on Event-Based Control, Communication and Signal Processing (EBCCSP 2017). Madeira (Portugal). 24-05-2017.
- Julio Ariel Romero Pérez, Roberto Sanchis Llopis. Analysis of a simple rule for tuning SSOD based PIDs. 2nd International Conference on Event-based Control, Communication, and Signal Processing (EBCCSP). 2016. Cracovia (Polònia). 13-06-2016.
- Julio Ariel Romero Pérez, Roberto Sanchis Llopis, Ignacio Peñarrocha Alós. A simple rule for tuning Event-based PID controllers with Symmetric Send-On Delta sampling strategy. 2014 IEEE International Conference on Emerging Technology and Factory Automation (ETFA 2014). Barcelona (Espanya). 16-09-2014.
- Roberto Sanchis Llopis, Ignacio Peñarrocha Alós, Julio Ariel Romero Pérez. Enfoque unificado del diseño de PID mediante el lugar de las raíces y en frecuencia. XXXV Jornadas de Automática. Valencia (Espanya). 03-09-2014.
- Julio Ariel Romero Pérez, Roberto Sanchis Llopis, Ignacio Peñarrocha Alós. Ajuste de controladores PID basados en eventos por cuantificación y cruce de niveles. XXXV Jornadas de Automática. Valencia (Espanya). 03-09-2014.
- Roberto Sanchis Llopis, Silvia Estupiña Ariño. Herramientas de hardware y software libre para la identificación experimental, el diseño y la implementación de controladores PID. XXXIV Jornadas de Automática. Terrassa (Espanya). 04-09-2013.